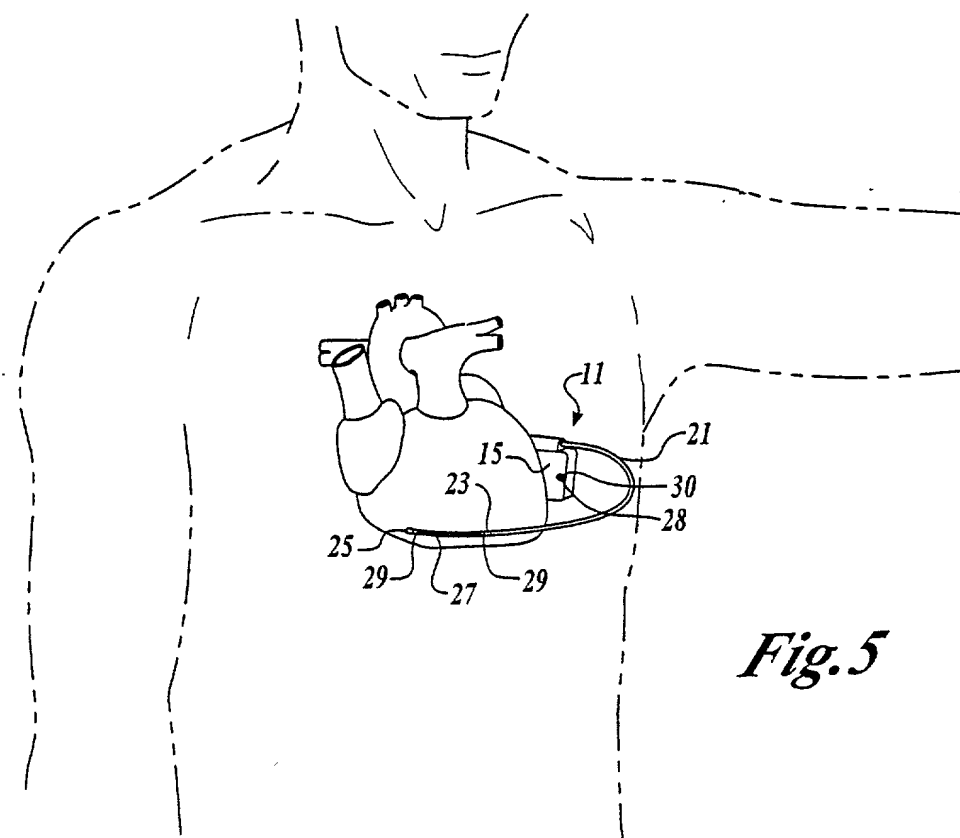
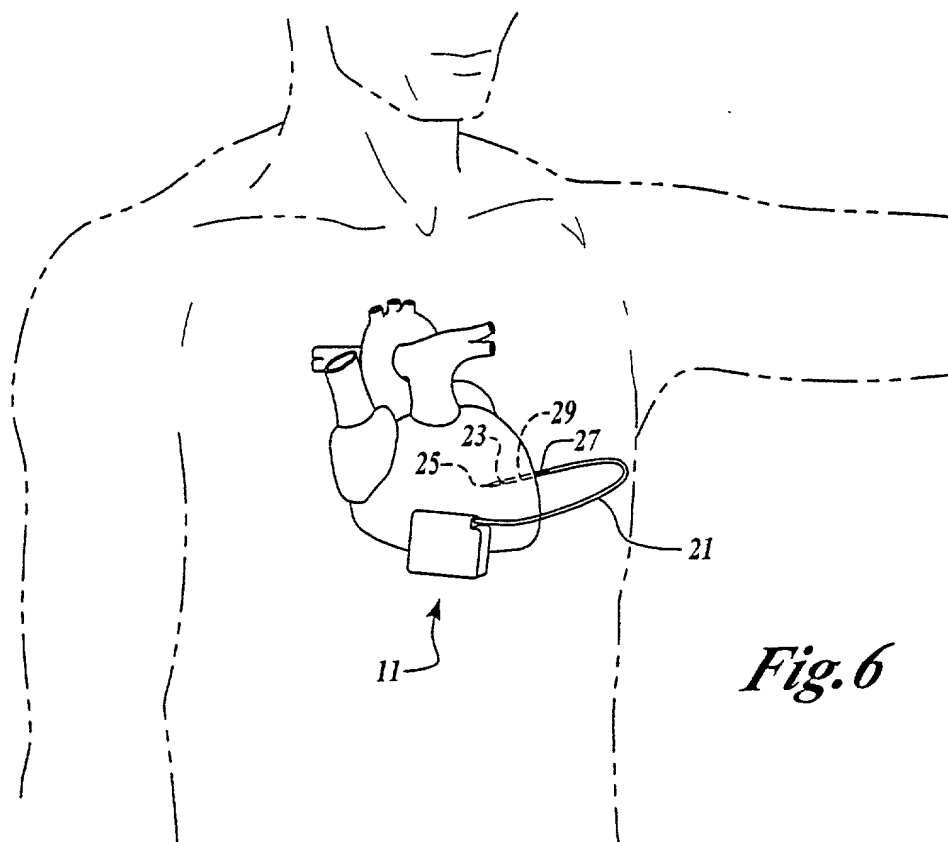


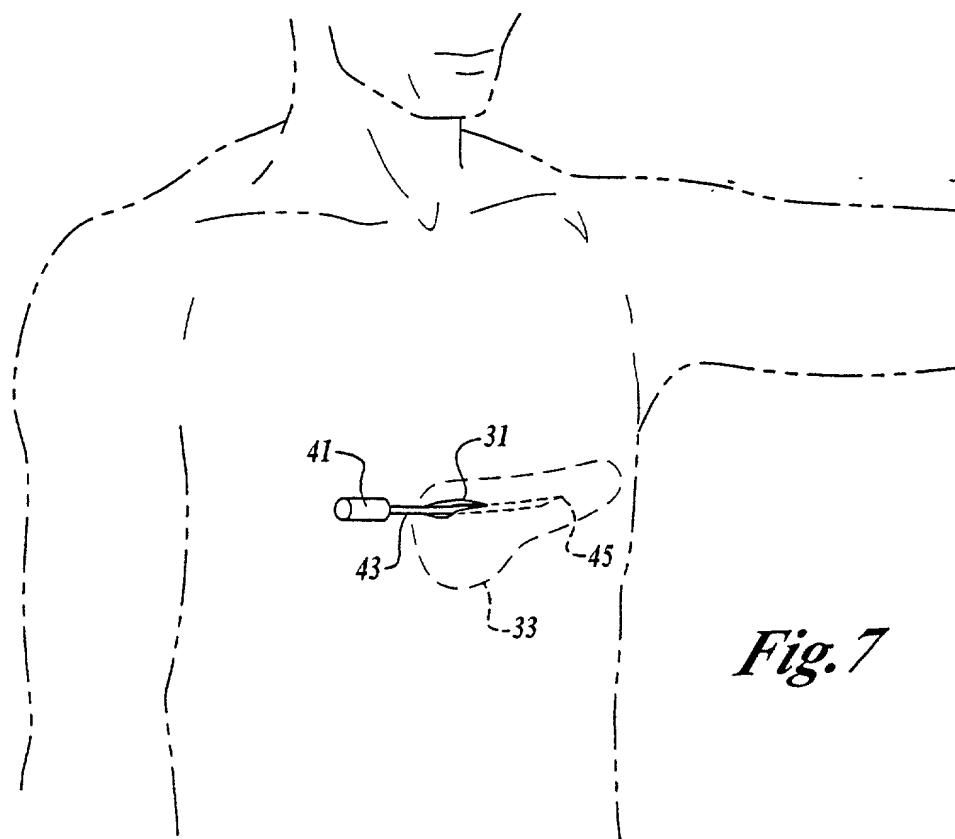
*Fig. 4*



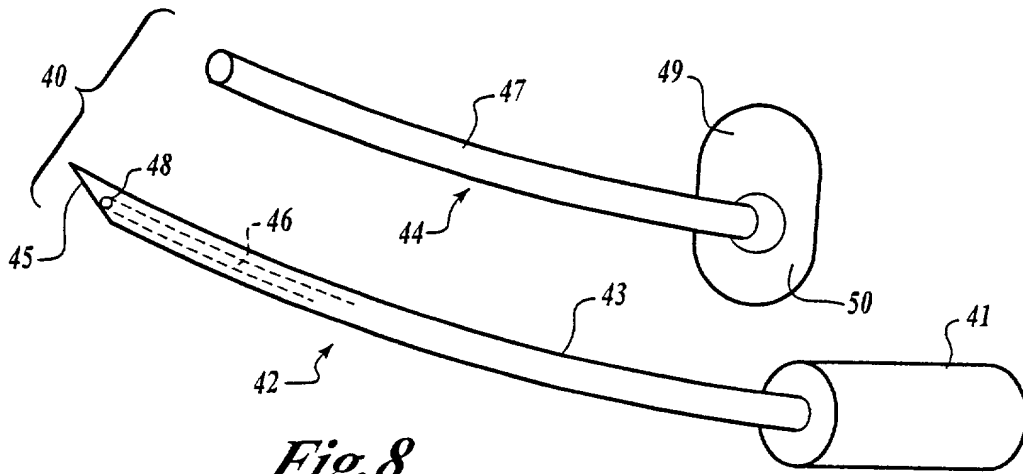
*Fig. 5*



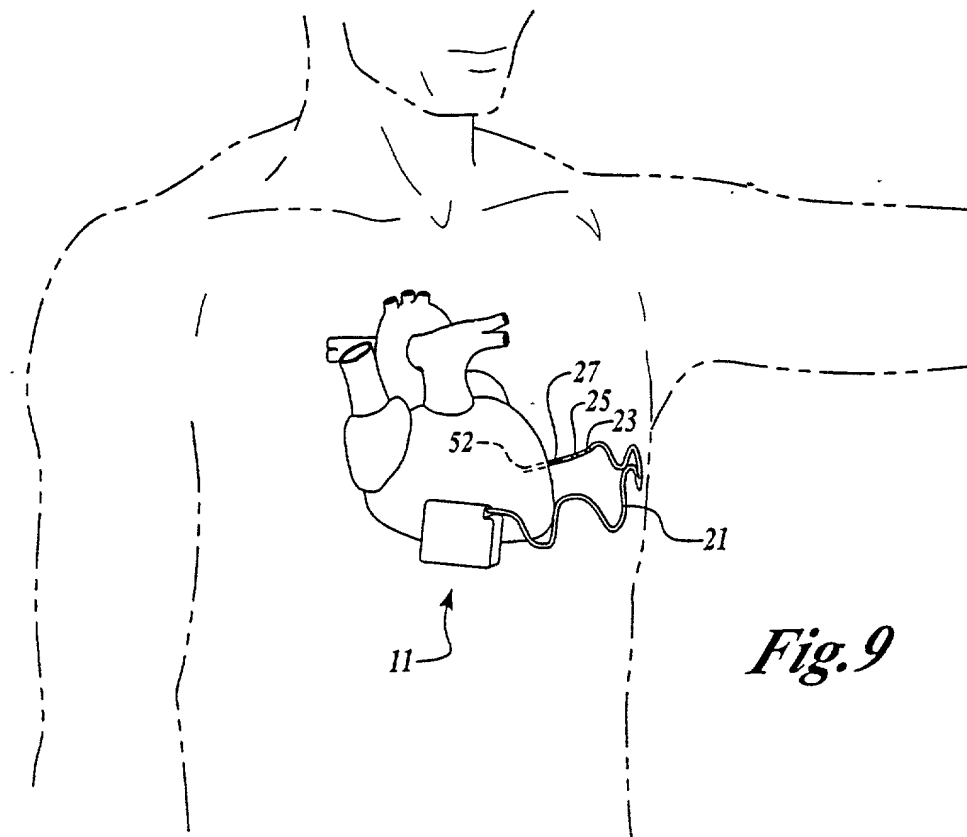
*Fig. 6*



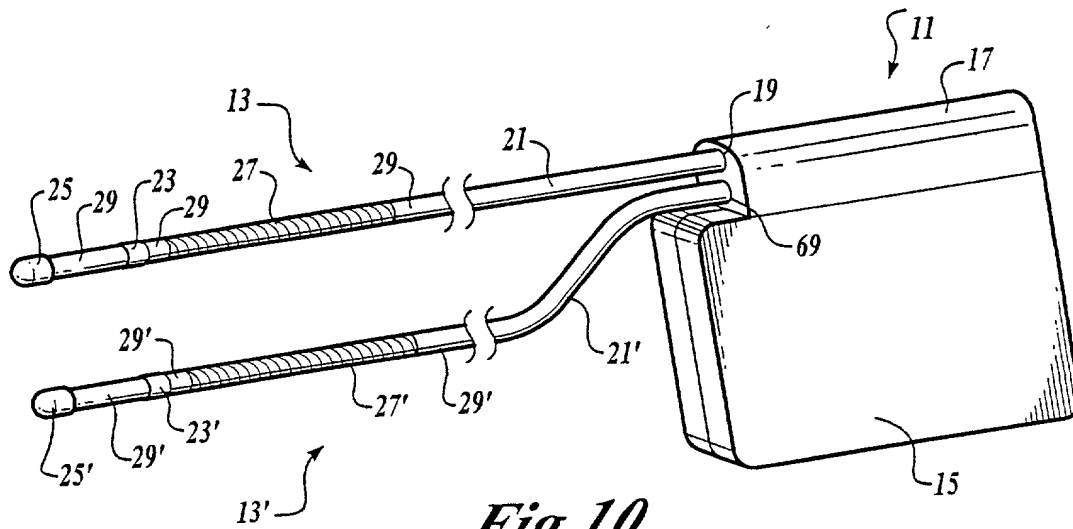
*Fig. 7*



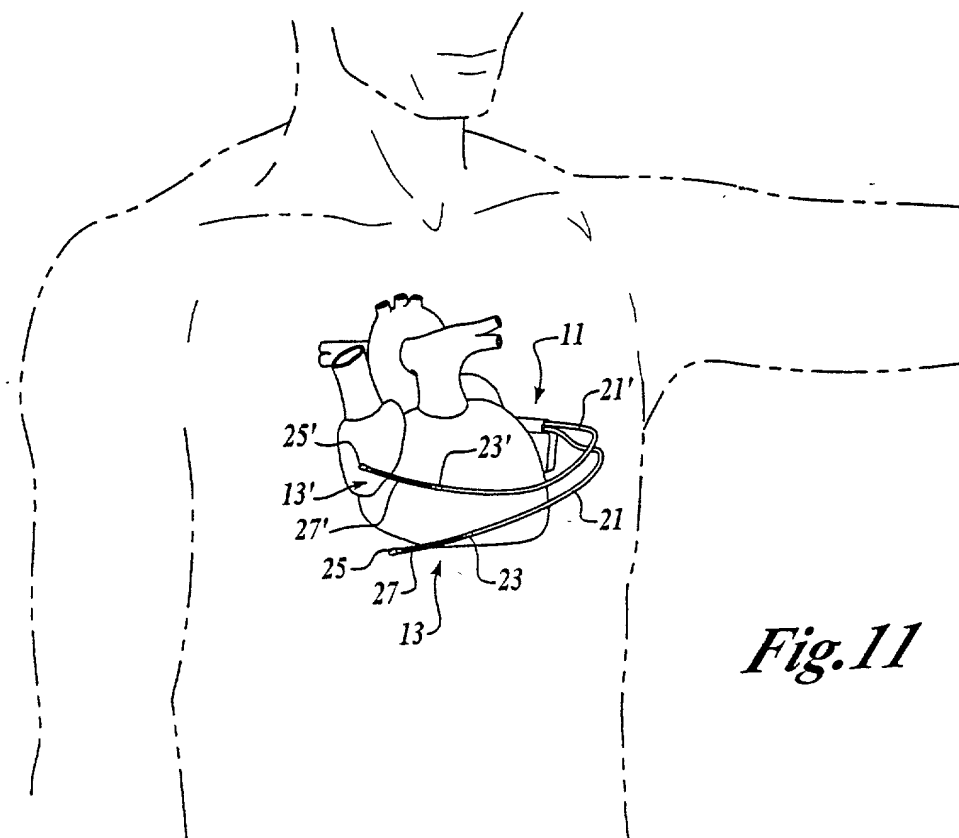
*Fig. 8*



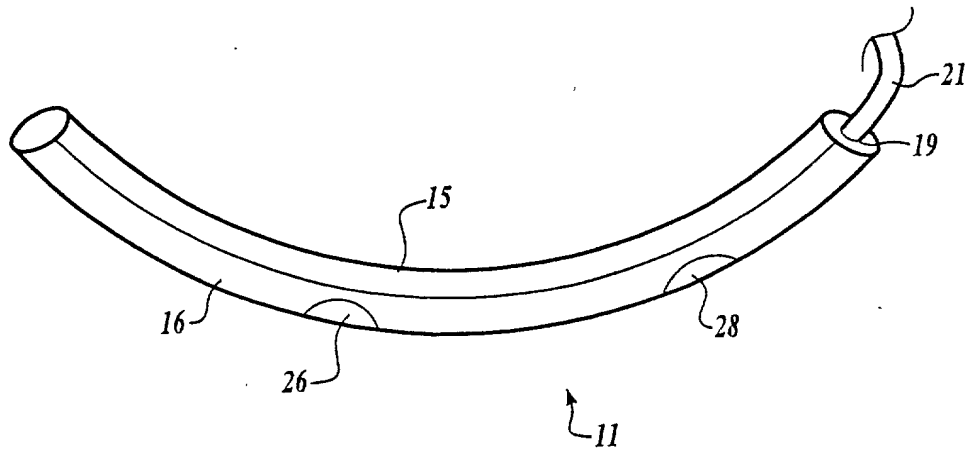
*Fig. 9*



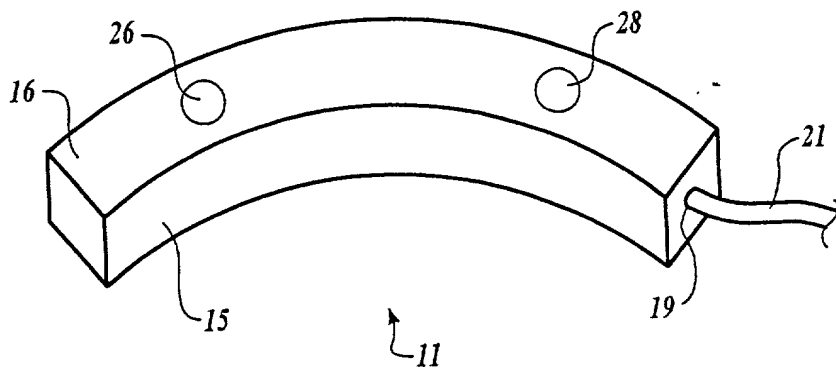
**Fig. 10**



**Fig. 11**



*Fig. 12*



*Fig. 13*

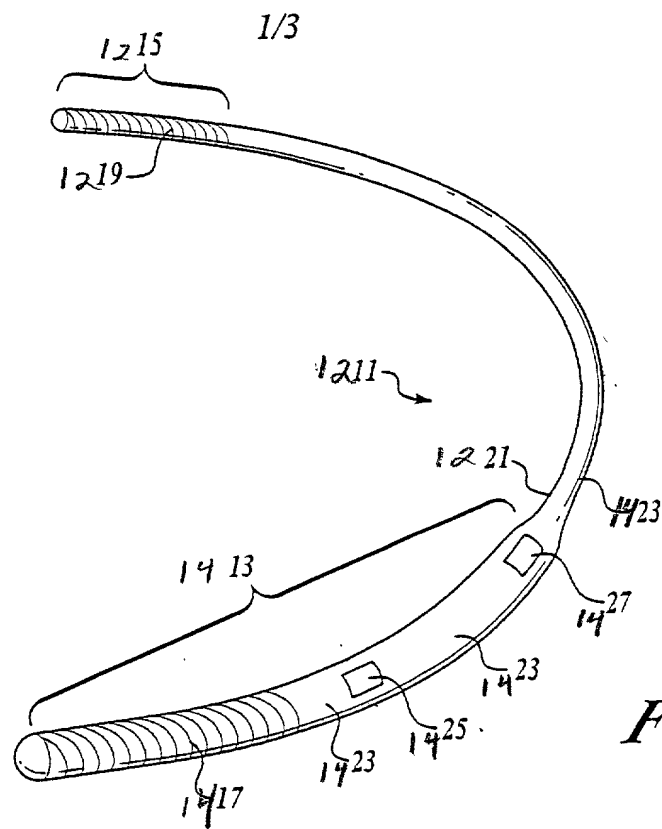


Fig. 14

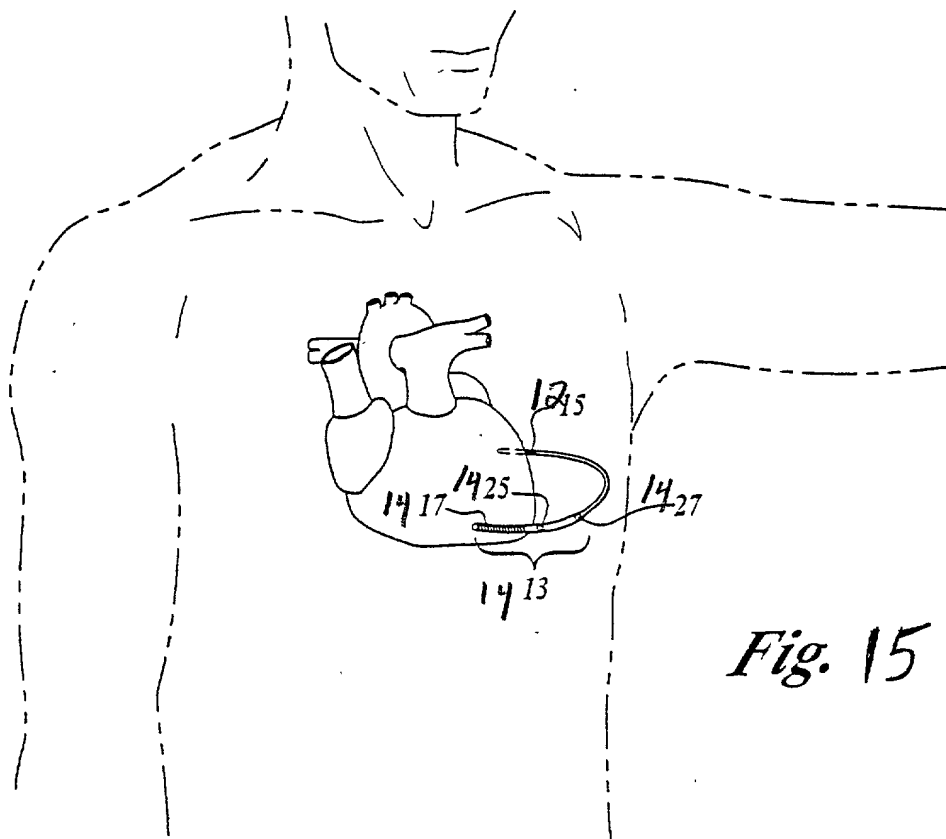
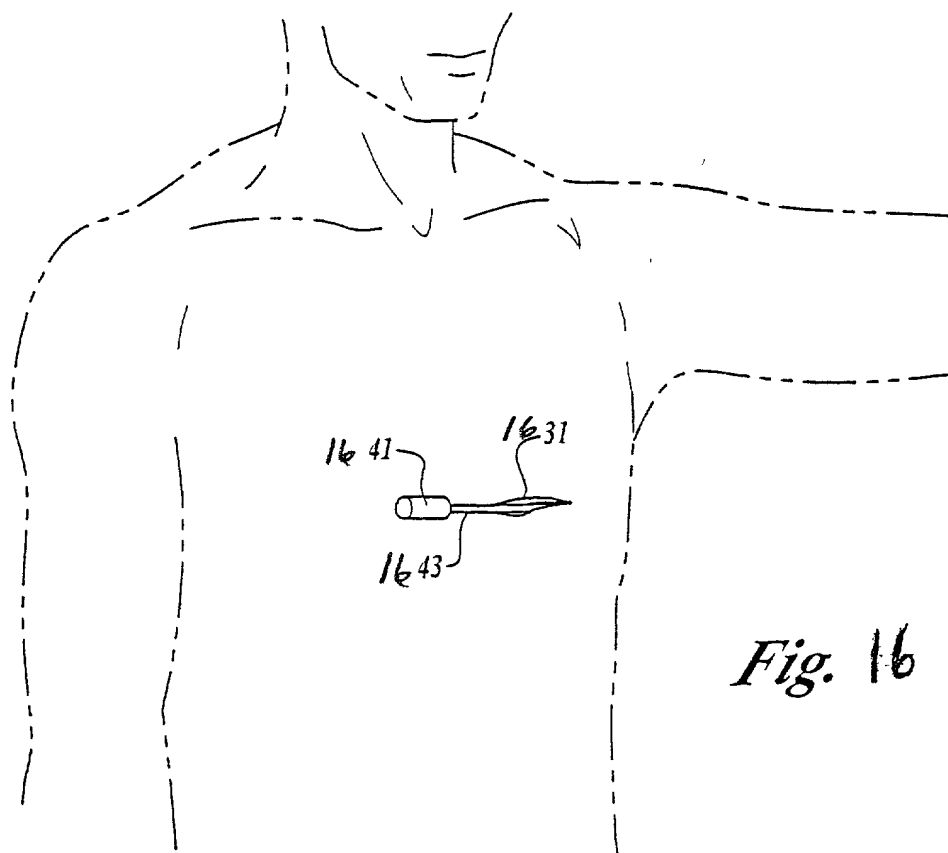
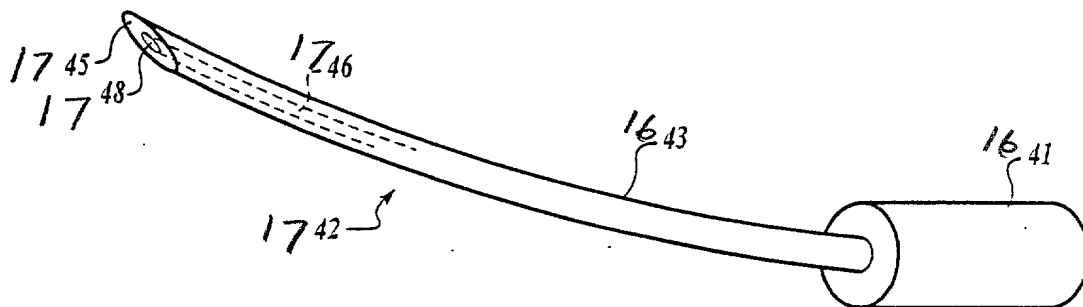


Fig. 15



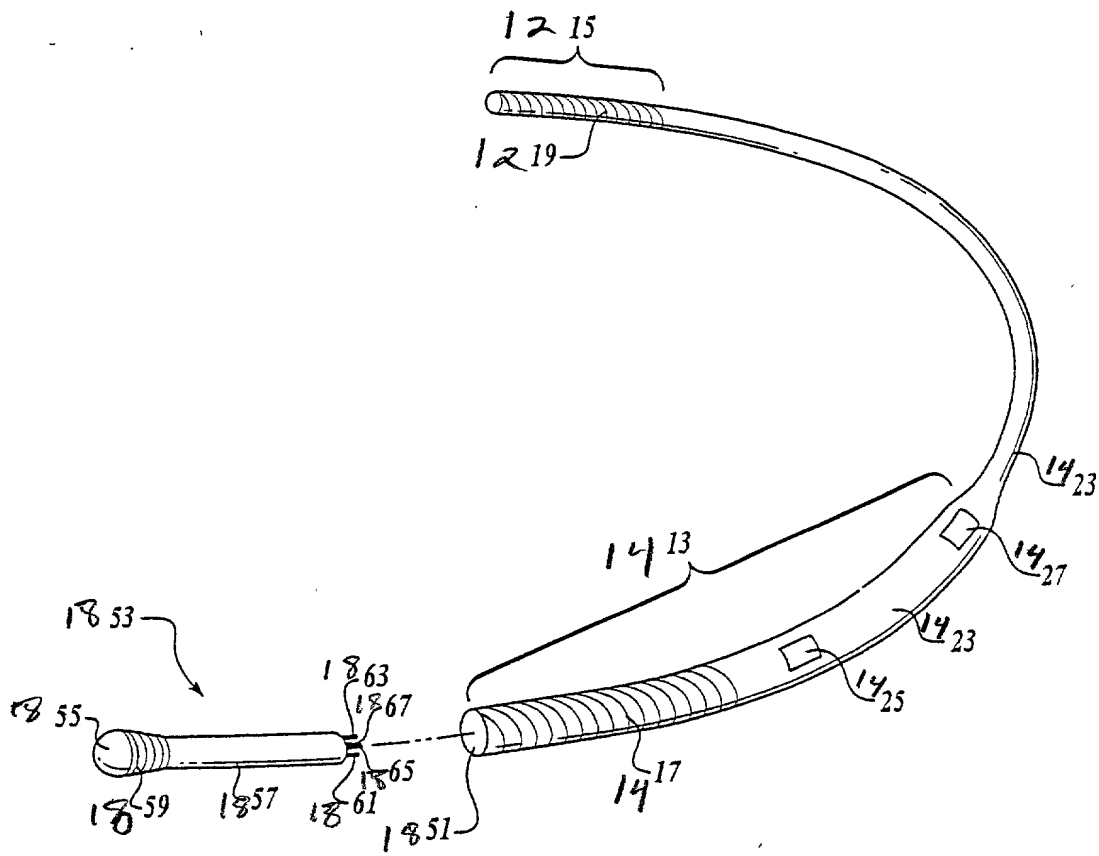
*Fig. 16*



*Fig. 17*

Downloaded from www.elsevier.com





*Fig. 18*

Fig. 19

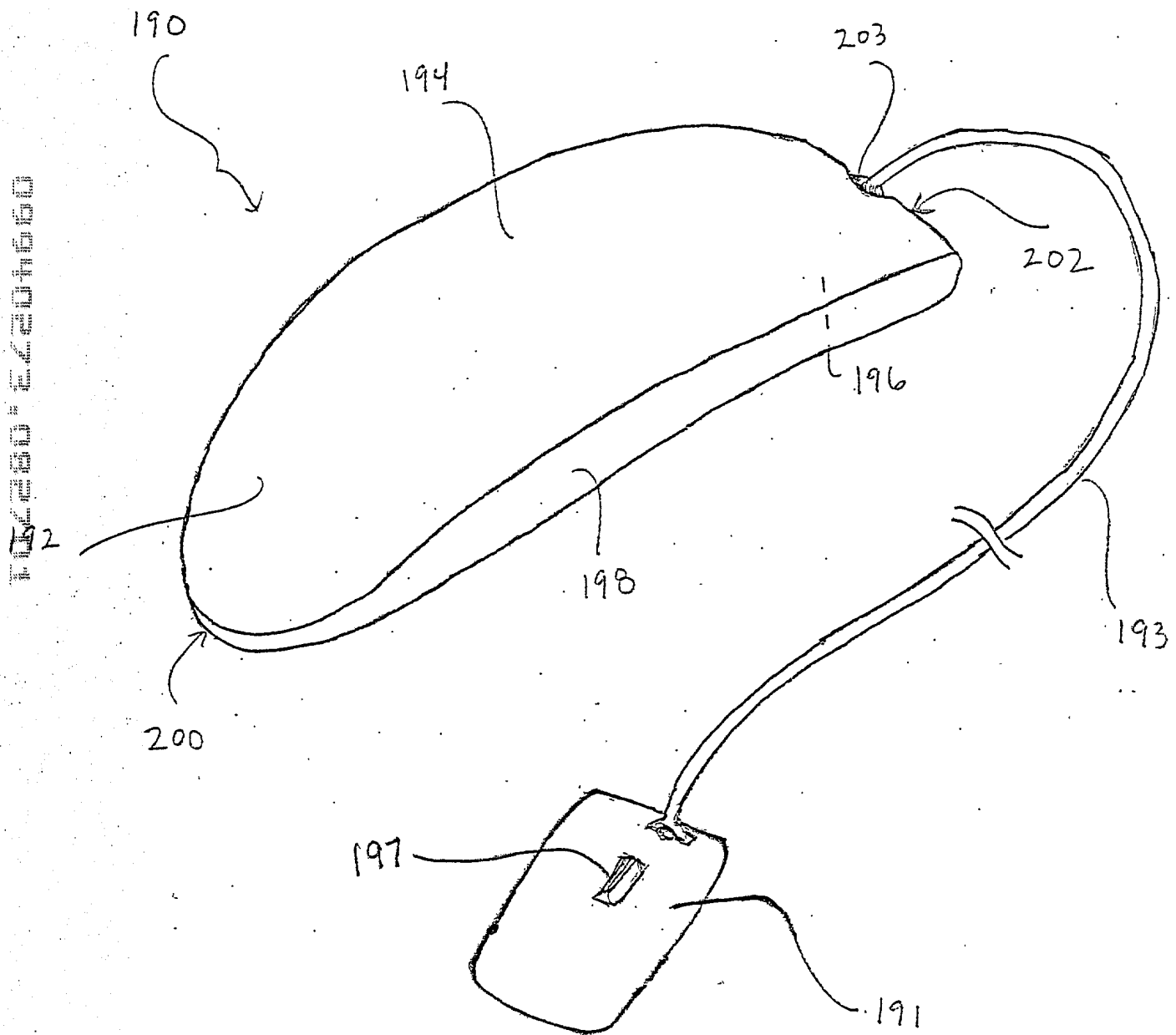


Fig. 20

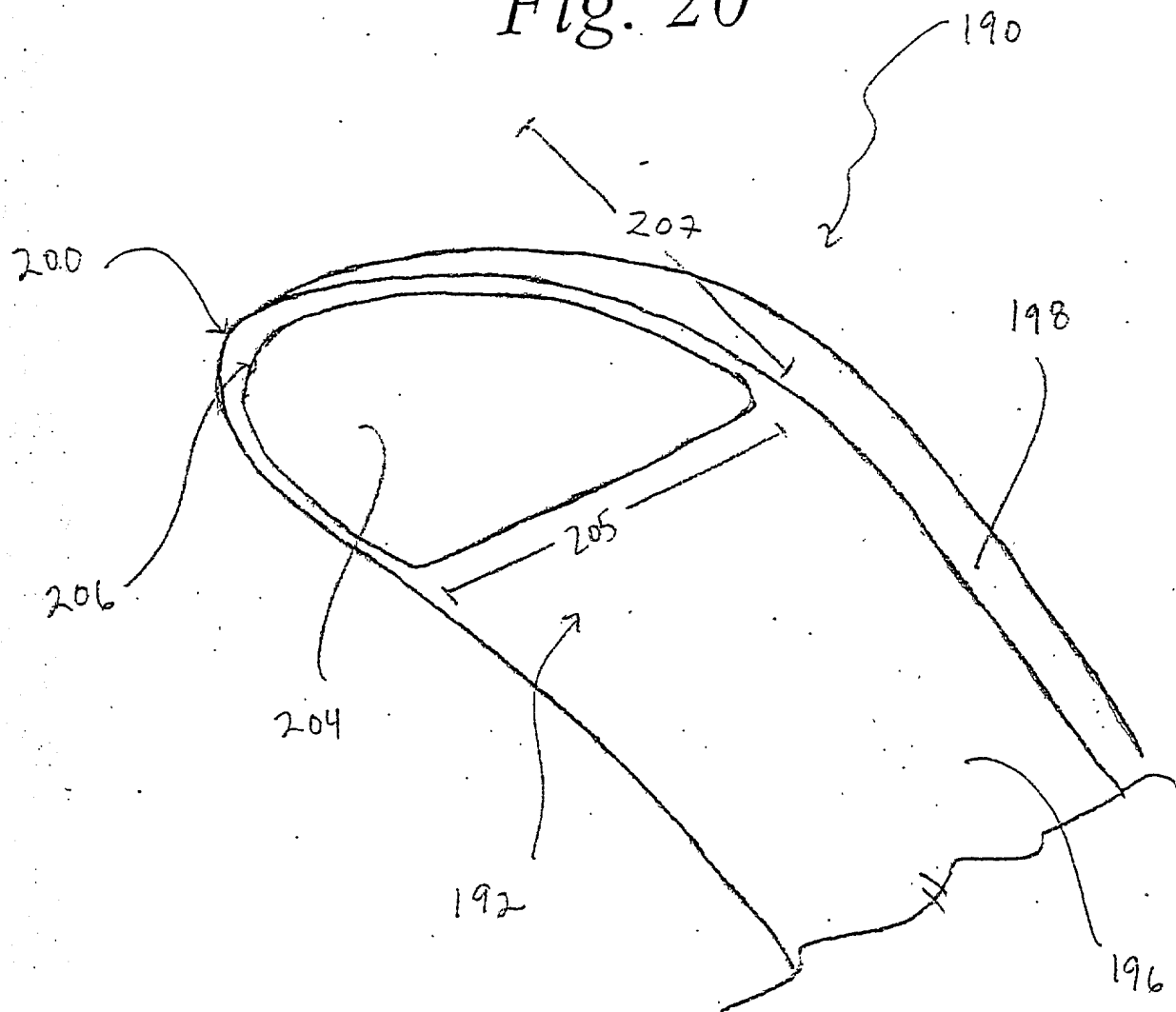


Fig. 21

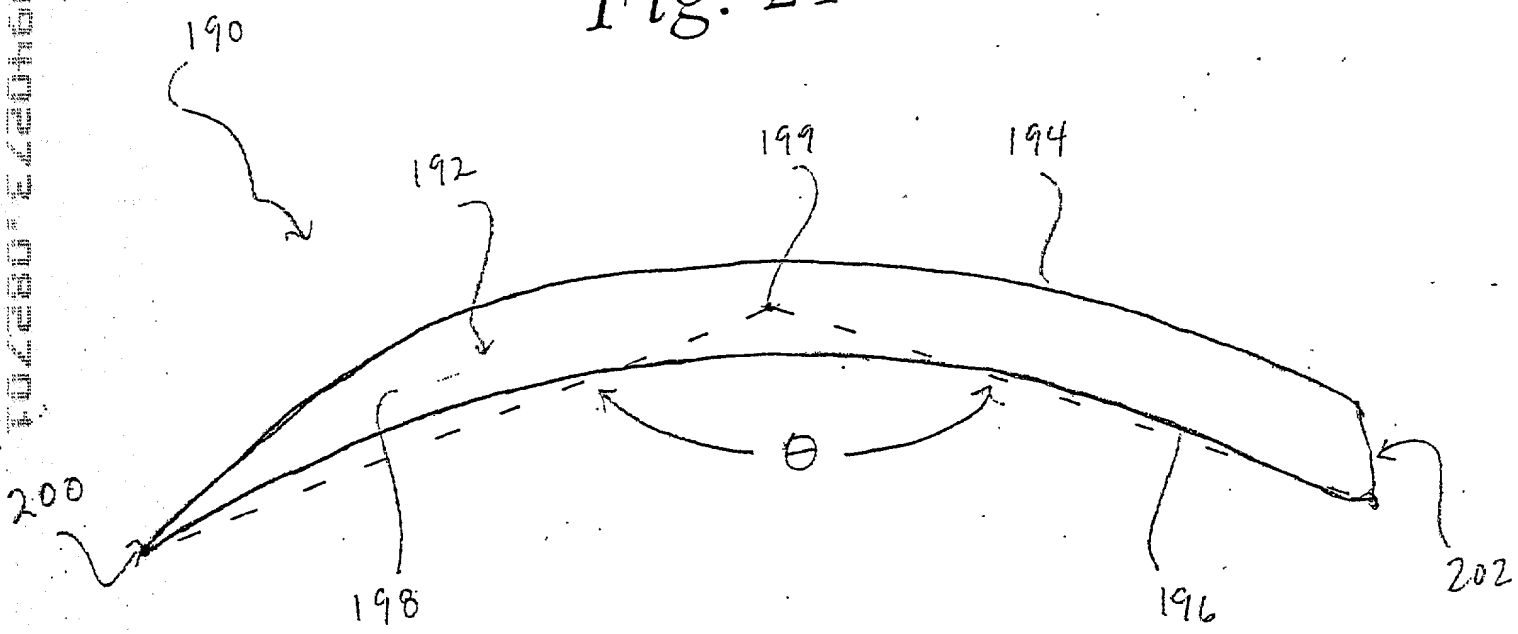


FIG. 22

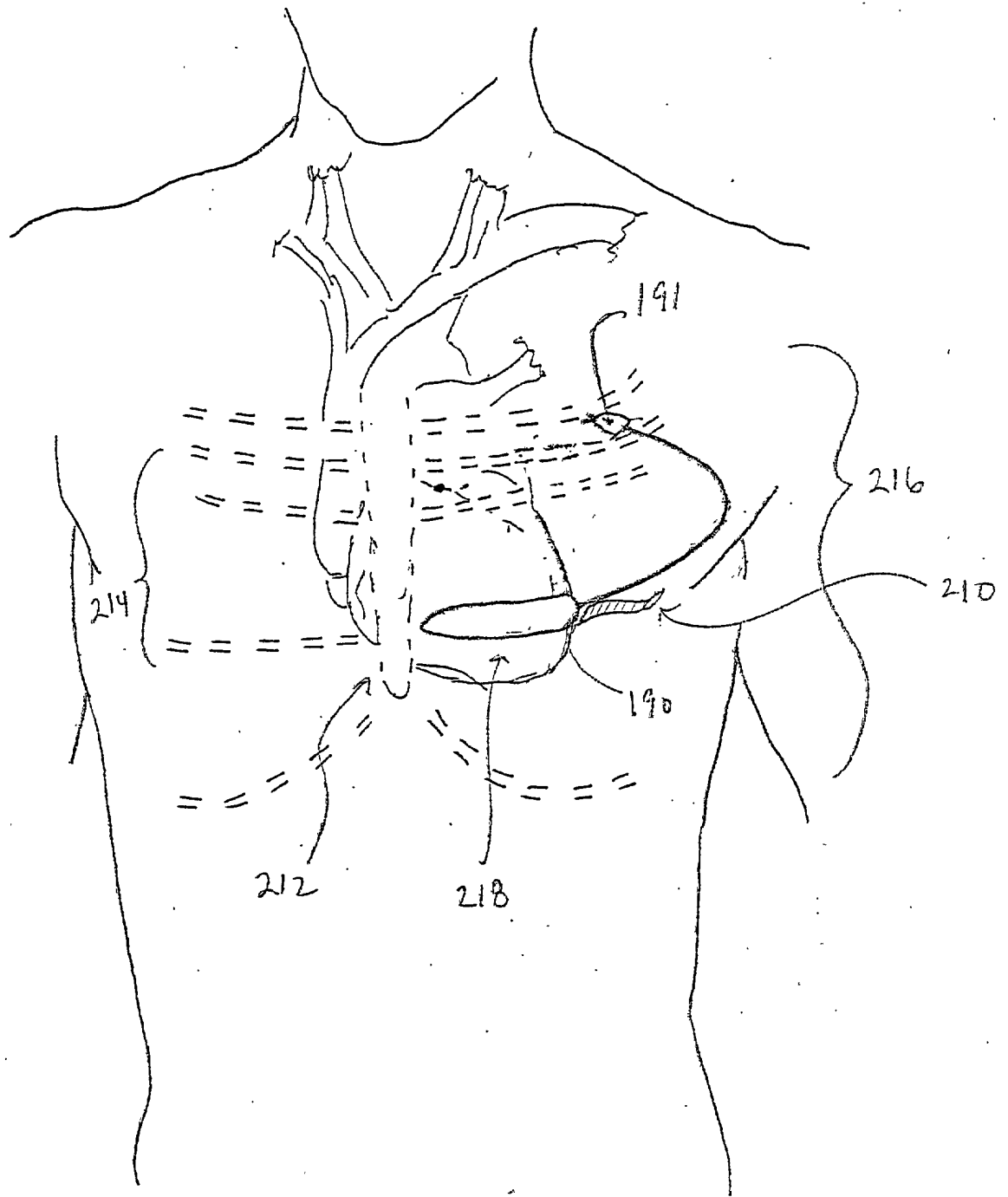


Fig. 22

Fig. 23A

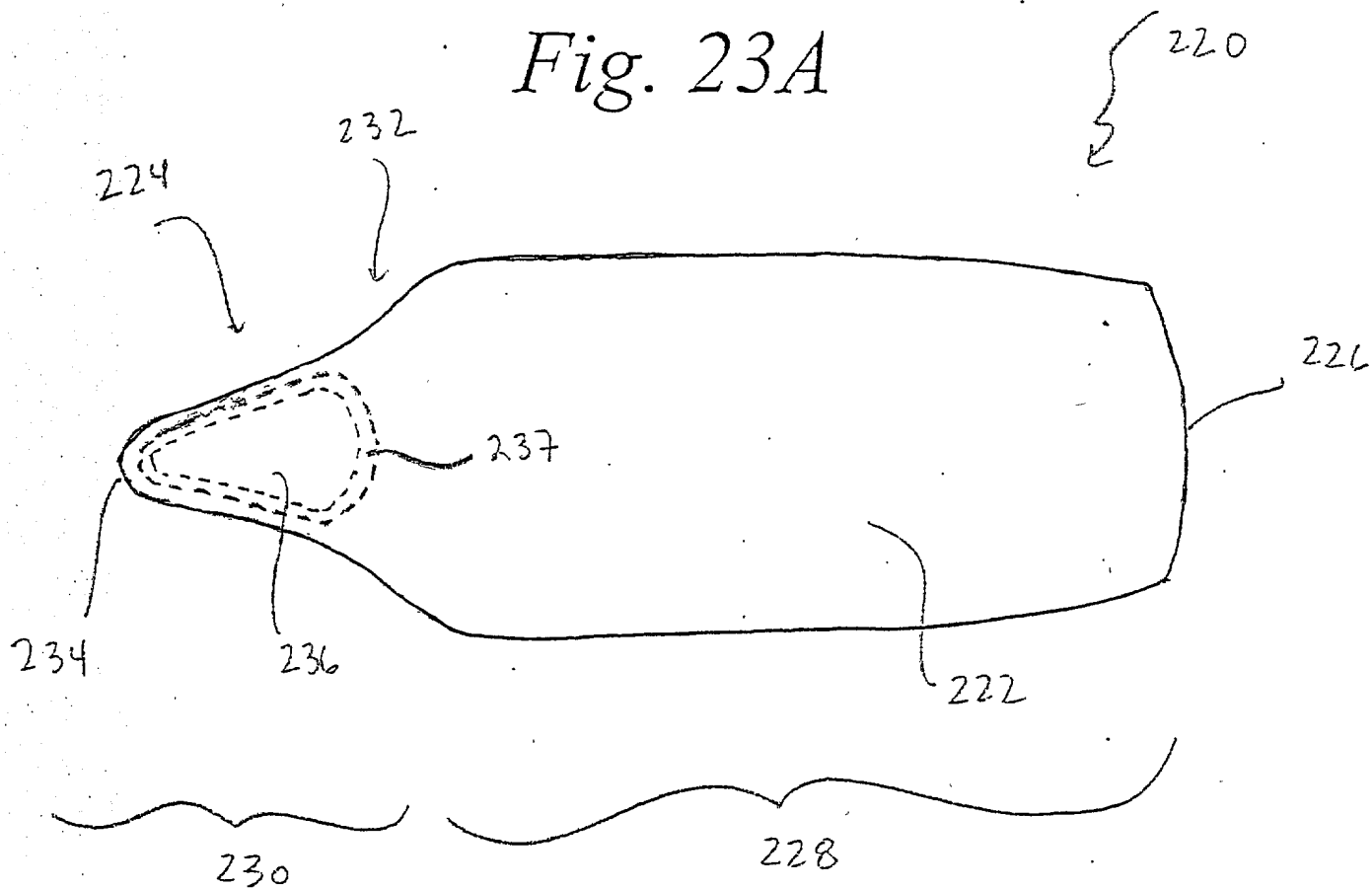


Fig. 23B

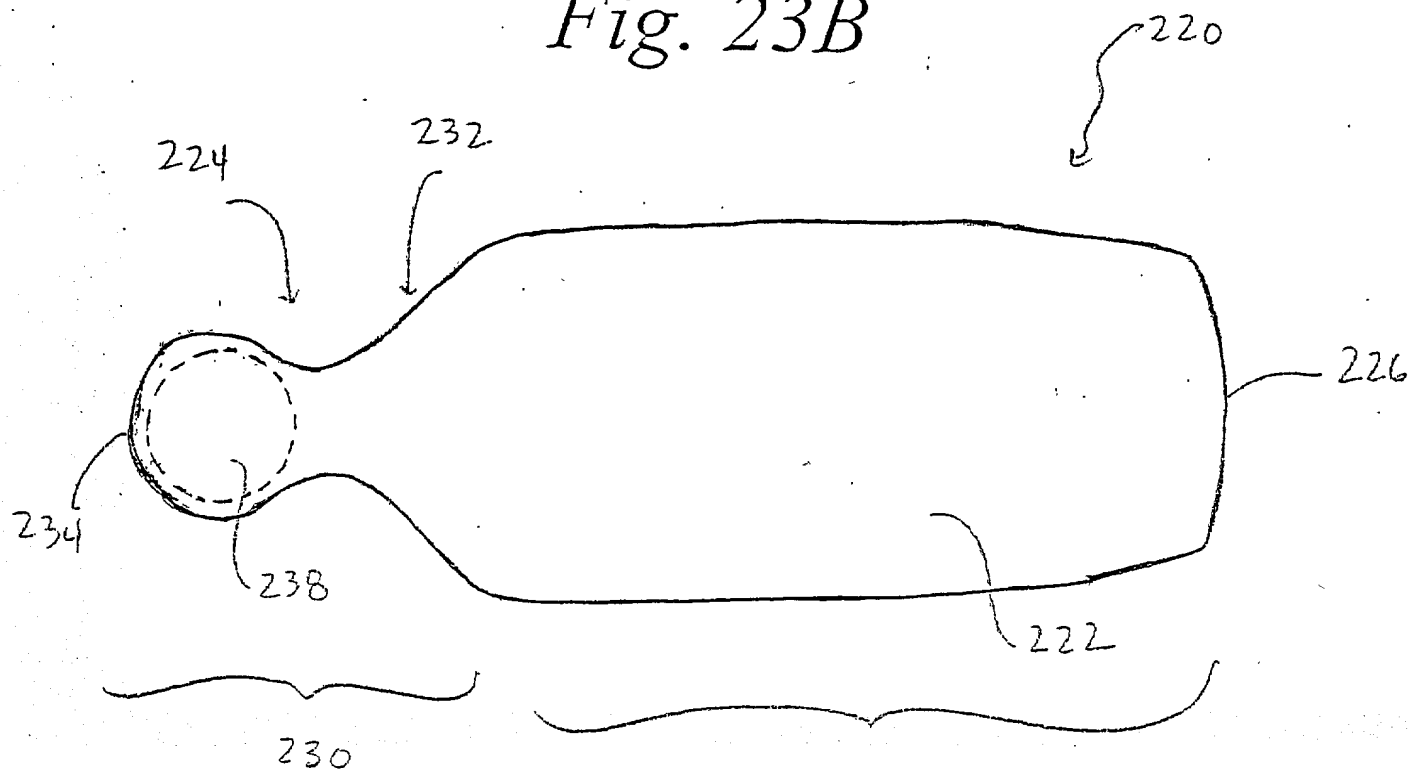


Fig. 24A

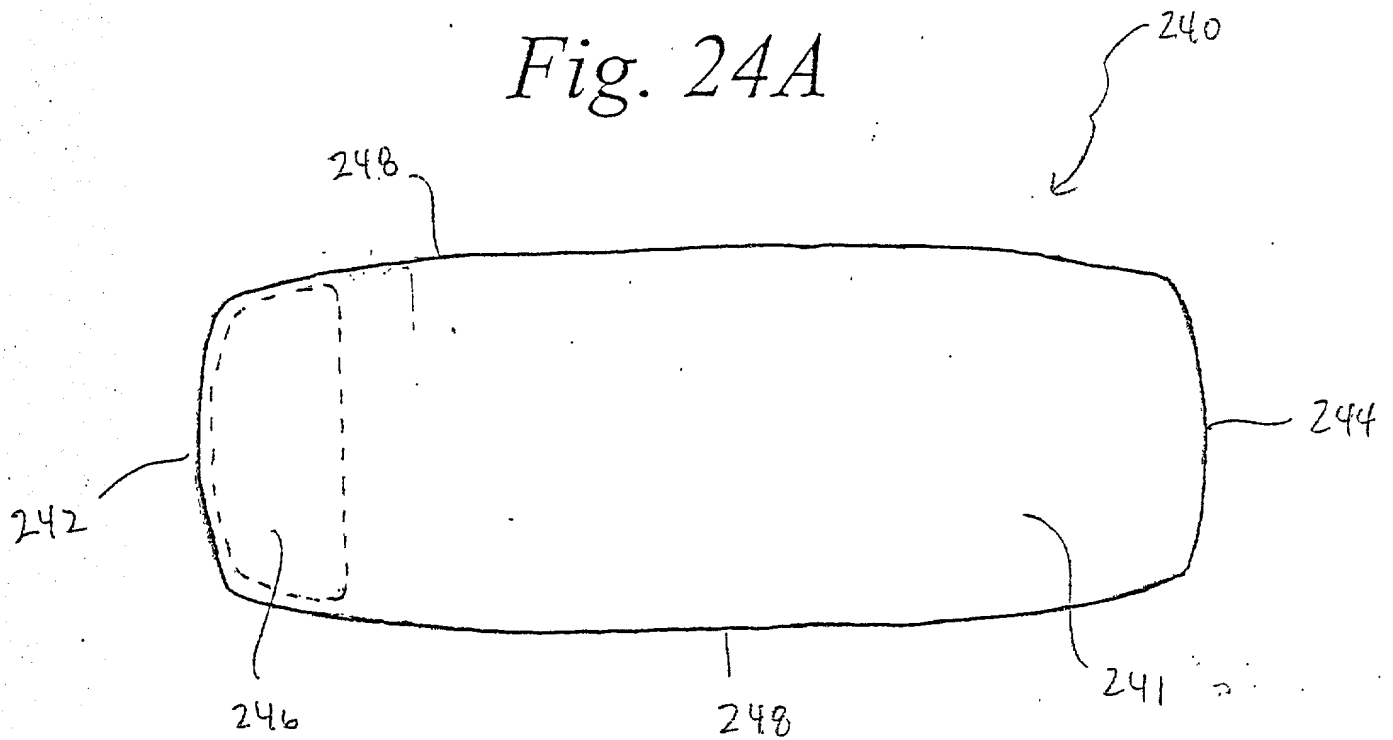


Fig. 24B

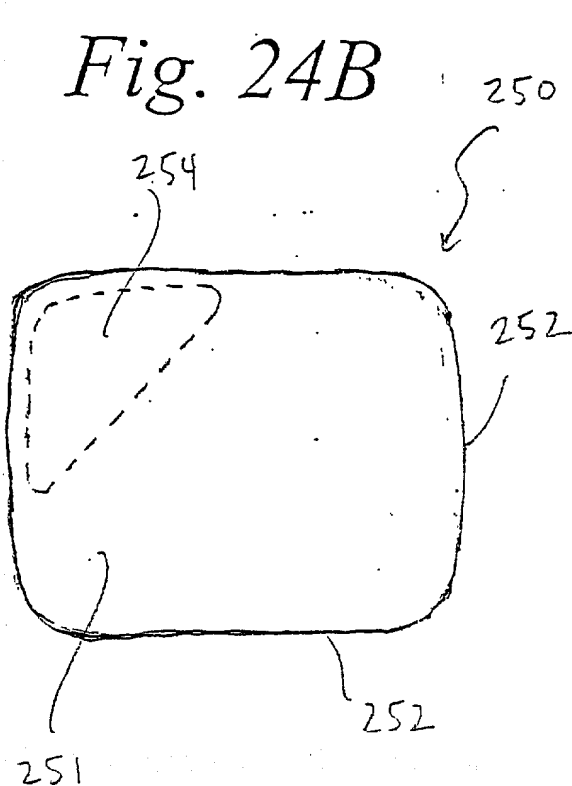


Fig. 24C

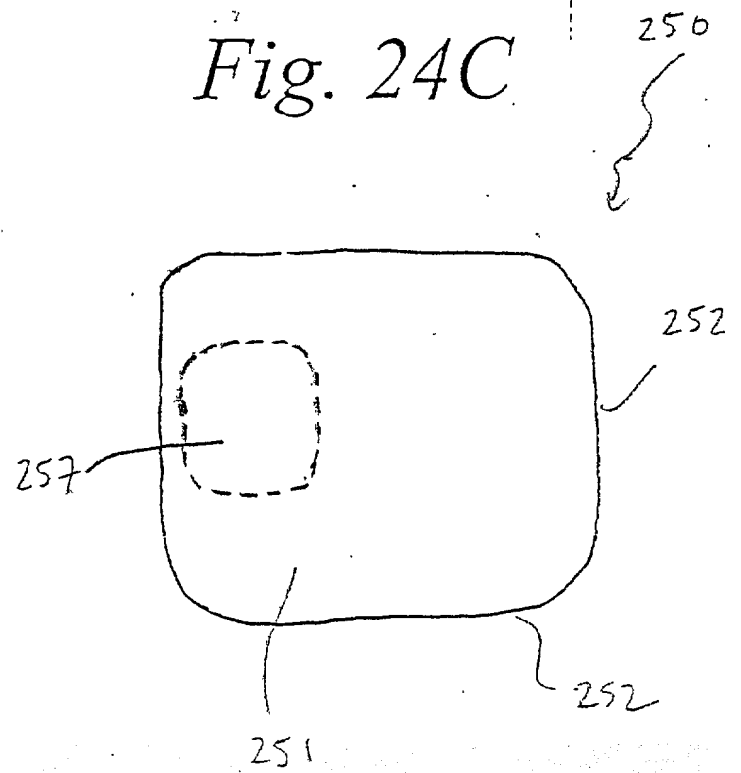


Fig. 25A

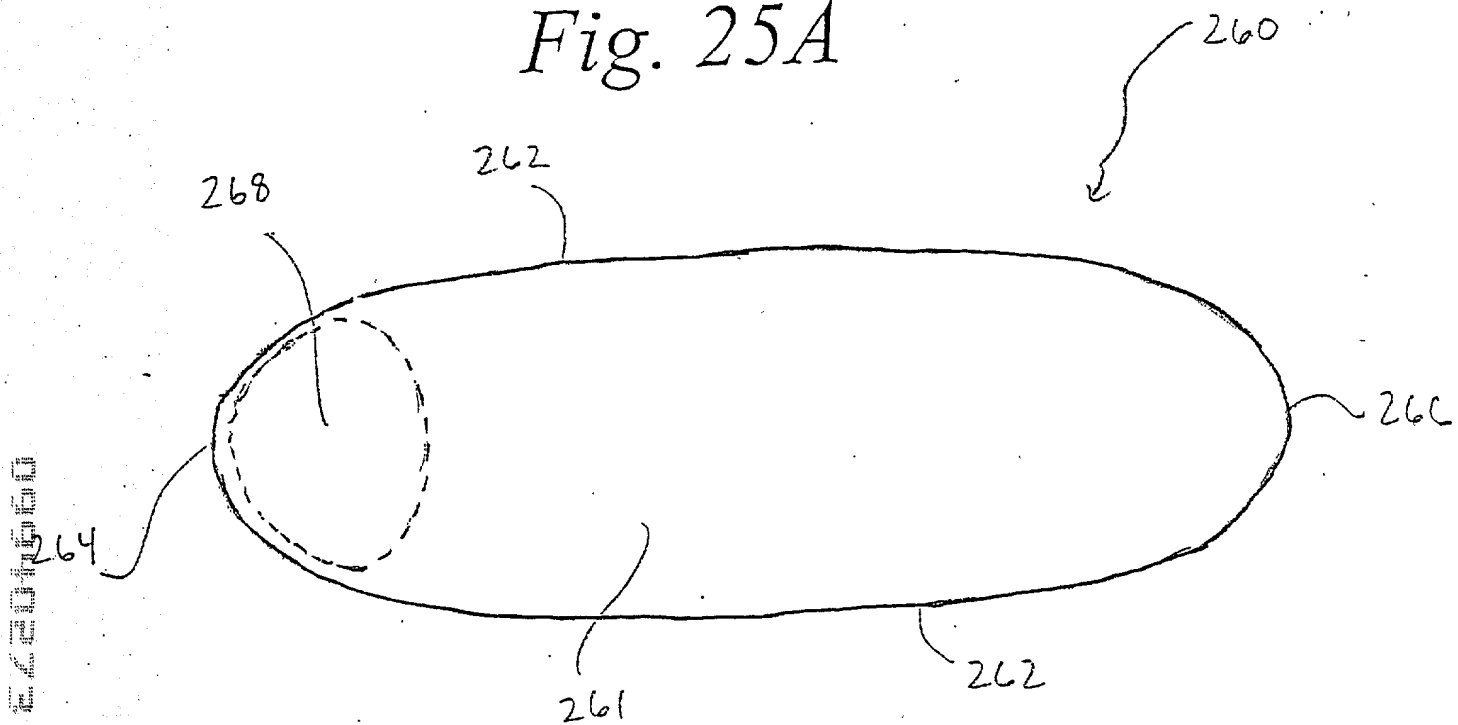


Fig. 25B

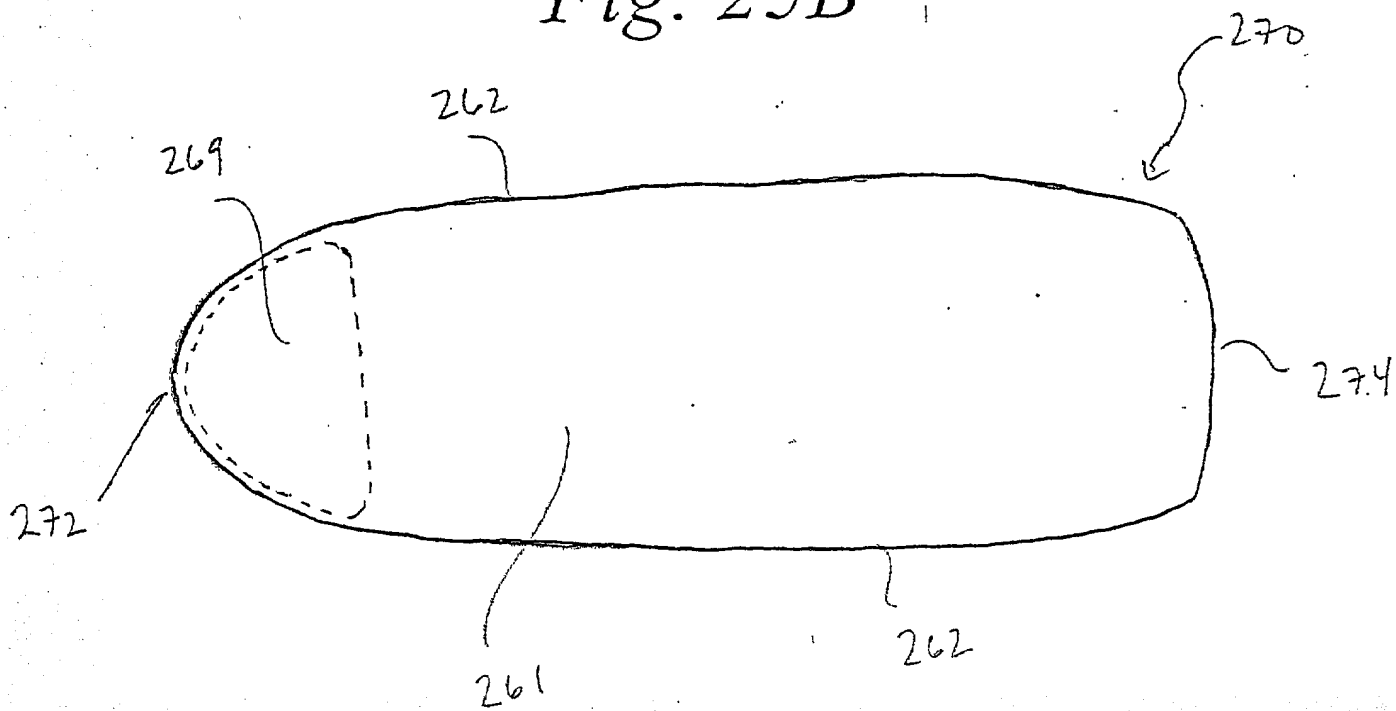




Fig. 26A

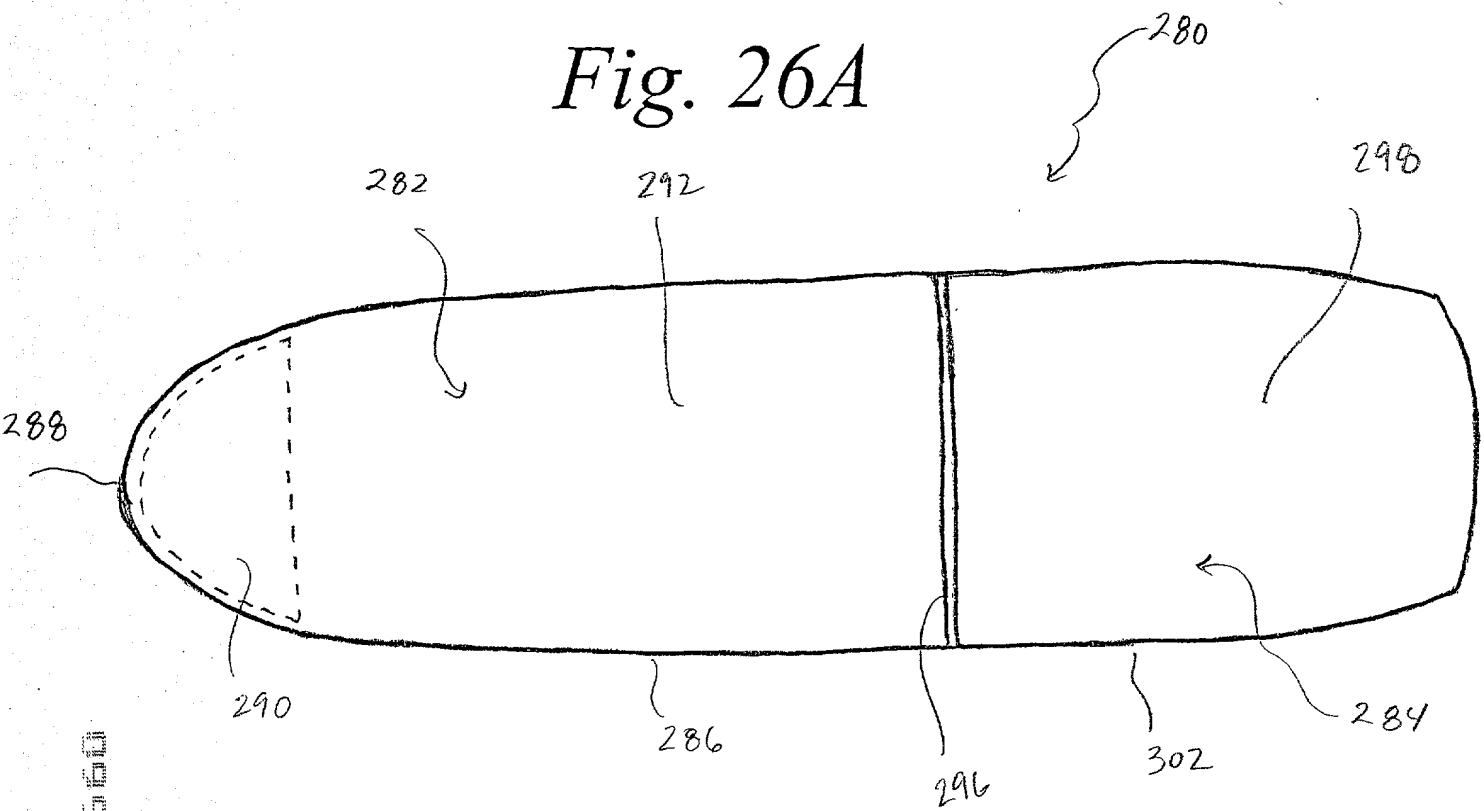


Fig. 26B

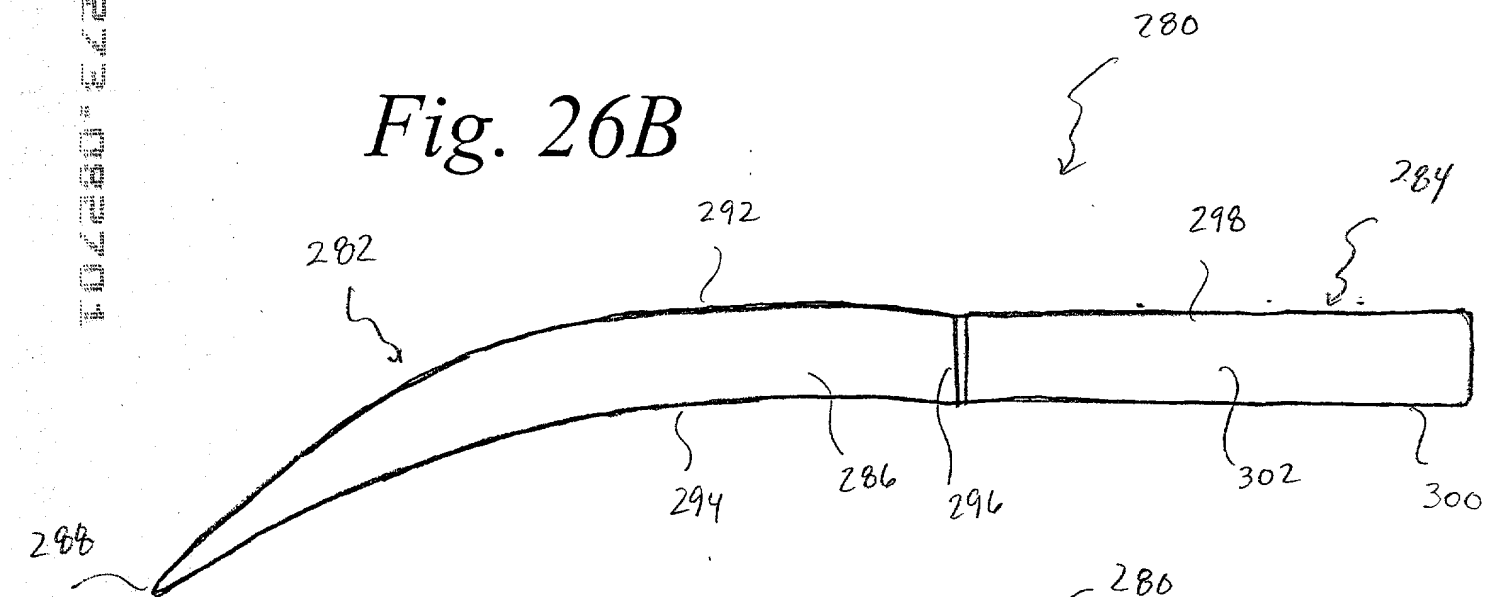


Fig. 26C

